

Detección de anomalías en ataques de contenedores de software mediante la monitorización y el análisis de recursos del sistema

Óscar
Mogollón Gutiérrez
Escuela Politécnica
Universidad de Extremadura
omogollo@alumnos.unex.es

Manuel
González Saavedra
Escuela Politécnica
Norontech S.L.
mgonzalez@jdani.eu

José Carlos
Sancho Núñez
Escuela Politécnica
Universidad de Extremadura
jcsanchon@unex.es

Jesús Daniel
Jiménez Paniagua
Afilación tercer autor
Norontech S.L.
jdani@jdani.eu

Resumen—La amenaza que sufren los sistemas informáticos hace necesaria una vigilancia que anticipe la detección de intrusiones o intentos de ataques. El uso de herramientas como firewall, IDS o SIEM para proteger los sistemas es interesante, pero incrementa el consumo de recursos en infraestructuras en la nube en los que se paga por uso. Este estudio mide y analiza la relación entre las anomalías que se producen en valores de los recursos internos de un sistema con actividad normal, frente al mismo sistema atacado. Se trabaja con un entorno virtualizado que sobre contenedores de software (*Docker*) despliega un gestor de contenidos web. La infraestructura utiliza un agente que recoge multitud de parámetros internos del sistema para ser comparados. Los resultados evidencian la existencia de parámetros concretos que presentan diferencias cuando un sistema tiene actividad normal, a cuando es atacado. Se concluye que el análisis de parámetros internos del sistema es de utilidad para anticipar la detección de ataques a una infraestructura en tiempo real.

Index Terms—detección de anomalías, identificación de anomalías, seguridad en aplicaciones, *cloud*, contenedores

I. INTRODUCCIÓN

El uso extensivo de Internet hace que los sistemas informáticos se encuentren constantemente expuestos y amenazados por los ciberataques. Según los informes de ciberamenazas y tendencias del Centro Criptológico Nacional (CCN-CERT) el número de ataques se ha ido incrementando con el paso de los años: 2016 (20.807), 2017 (26.472), 2018 (38.192) y 2019 (42.997) [1]–[4].

Para mitigar muchas de estas amenazas se utilizan, como protección perimetral, los cortafuegos (*firewall*) que evitan intrusiones en redes de ámbito privado, bloqueando accesos no autorizados. No obstante, los sistemas protegidos de esta forma siguen siendo considerablemente vulnerables a otros tipos de ataques como la denegación de servicio y, sobre todo, a las acciones malintencionadas de usuarios internos al sistema.

Por este motivo, la protección perimetral se complementa con sistemas dedicados a la detección de intrusiones (IDS) encargados de identificar posibles anomalías en función de las desviaciones del comportamiento normal, lo que podría indicar de la presencia de ataques. Y también, con sistemas de gestión de información y eventos de seguridad (SIEM) encargados de almacenar de forma centralizada e interpretar posibles incidencias de seguridad que se producen en un sistema.

Sin embargo, el uso de servicios en la nube (*IaaS - Infrastructure as a Service*) en los que se paga por el tráfico que se genera o los recursos que se consumen (*pay as you go*), hace que el uso de cortafuegos, IDS o SIEM incrementa notablemente el tráfico y los recursos de la infraestructura, abriendo un nuevo abanico de posibilidades en la detección de ataques. Por el contrario, el estudio de parámetros internos al sistema no incrementa el tráfico, ni sobre carga la infraestructura.

De esta forma, el objetivo de este trabajo es identificar las anomalías que se producen en los ataques entre los valores internos de los recursos de un sistema (CPU, memoria principal, memoria de intercambio, conexiones, disco, llamadas al sistema, etc.). Para ello, se utiliza un entorno que utiliza contenedores de software en el despliegue de un sistema gestor de contenidos (CMS), concretamente *WordPress*, que permite comparar los valores habituales de dichos recursos en una situación normal y los valores que se obtienen durante un ataque. Las variaciones producidas en ambos casos establecen determinadas relaciones que indican en tiempo real cuando un sistema está intentando ser vulnerado.

II. BACKGROUND Y TRABAJOS RELACIONADOS

Los estudios que se encuentran en este ámbito se centran, sobre todo, en el análisis de las llamadas del sistema para identificar anomalías o predecir el comportamiento de este. Otros, los que menos, tienen en cuenta parámetros internos de los recursos del sistema. Los estudios se presentan de manera cronológica plasmando los avances en este ámbito.

De esta forma, Hofmeyr y otros, introducen [5] por primera vez un método de detección de intrusiones que consiste en el análisis de la secuencia de llamadas al sistema producida por la ejecución legítima de un programa y, posterior, comparativa con la secuencia obtenida tras la introducción de una amenaza.

Posteriormente, y con el objetivo de mejorar la eficacia en la detección de intrusiones haciendo uso de los modelos ocultos de Markov (HMM), Cho y otros, modelan en [6] el comportamiento de una máquina basándose en analizar la secuencia de llamadas al sistema que tienen lugar al otorgar privilegios root al sistema (*user-to-root*). En esta misma línea, Xu aplica procesos de recompensa de Markov junto a algoritmos de diferenciación temporal [7].

También Mutz y otros, aplican en [8] varios modelos complejos sobre los argumentos de las llamadas al sistema que se recogen. La determinación de si la secuencia de llamadas al sistema es una amenaza se realiza en base a un cálculo complejo (red Bayesiana) que agrega los resultados obtenidos por cada modelo. Más recientes, se encuentran otros estudios como el de Lv y otros, que presentan en [9] un estudio para detección de intrusiones con una perspectiva en el ámbito de las redes, donde emplean un modelo basado en secuencias de llamadas para predecir, a partir de una secuencia dada, el conjunto de llamadas que se pueden dar en el futuro. De esta forma la cadena de llamadas al sistema pronosticada predice anomalías. Un paso más avanzado a la investigación anterior encontramos el estudio de Liu y otros, que proponen [10] un método de extracción de características de llamadas al sistema para la detección de anomalías basado en secuencias n-gramas. La metodología que utilizan permite la construcción de modelos independientes del sistema.

Shin y Kim, siguen en [11] la línea de la aplicación de algoritmos de Machine Learning para la detección de intrusos basados en anomalías para la clasificación de datos normales y de situaciones de ataque. En relación directa con esta contribución encontramos uno de los estudios más recientes, en el que Samir y Pahl abordan en [12] la detección de anomalías en contenedores mediante modelos jerárquicos de Markov. Su objetivo es detectar y localizar amenazas en tiempo real y emitir alertas cuando se detecten variaciones en los tiempos de respuesta de los contenedores.

Esta investigación comparte su objetivo con las anteriores, ya que analiza el uso de las variaciones de un entorno para anticiparse a un evento, en este caso un ataque informático.

III. METODOLOGÍA

El estudio se realiza en un entorno virtualizado que utiliza *Docker* para desplegar un gestor de contenidos web. La Figura 1 presenta gráficamente la infraestructura utilizada y describe los elementos que constituyen el entorno del experimento. La capa de infraestructura hace referencia a la máquina física donde se alojan los entornos virtualizados y sus características, como indica la Tabla I.

Un nivel por encima, se sitúa el sistema operativo (*Ubuntu Server*) donde se ejecuta el motor de *Docker* y el agente recolector de métricas. Este agente se encarga de recoger recursos del sistema como CPU, memoria RAM, interrupciones, disco, red, e incluso las llamadas al sistema. La Tabla II presenta la configuración del entorno virtualizado.

La capa superior gestiona los contenedores que permiten desplegar un *WordPress* (versión 5.5.1), el motor *PHP* (5.0.4) y el sistema gestor de base de datos *MySQL* (8.0.22) y hacerlo completamente funcional. La diferencia entre ambos entornos, como se observa en la Figura 1, es que el tráfico legítimo es

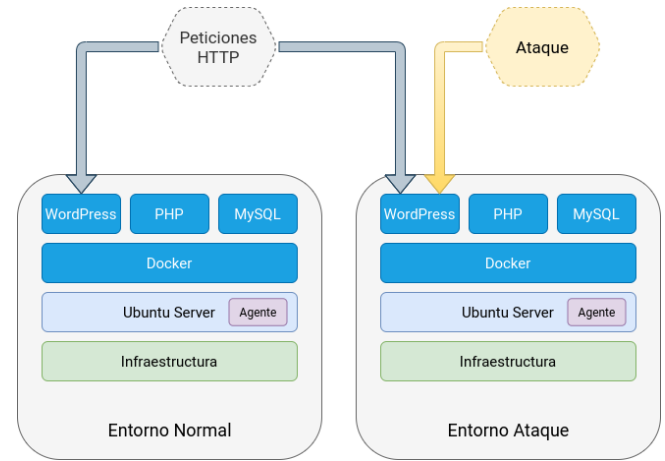


Figura 1. Descripción gráfica del entorno.

generado en ambos escenarios y el tráfico ilegítimo (ataque) se produce únicamente en el escenario atacado. Se define tráfico legítimo al generado con normalidad en el sistema.

La Tabla III lista los parámetros del sistema recogidos para identificar las posibles variaciones entre ambos escenarios.

Seguidamente, se describen las acciones realizadas en el escenario de ataque.

III-A. Ataque por fuerza bruta

El ataque por fuerza bruta consiste en un acto malicioso que intenta descubrir la contraseña de un usuario de un sistema mediante el intento de múltiples combinaciones. Este ataque realiza 500 intentos de acceso al gestor de contenidos *WordPress* haciendo uso de las contraseñas que extraídas de [13] y siguiendo las instrucciones de los autores que lo proponen [14].

III-B. Ataque de denegación de servicio

El segundo intento de explotar el sistema se corresponde a un ataque de denegación de servicio (DoS) basado en XML al tratar de parsear XMLRPC como se indica en [15].

IV. RESULTADOS Y DISCUSIÓN

Los resultados muestran las anomalías de rendimiento más importantes entre ambos escenarios en función de los ataques definidos. Se identifica como anomalía cuando el comportamiento de un recurso es inusual (por ejemplo, uso de CPU, uso de memoria, llamadas del sistema), se desvían de lo esperado o en este caso de lo que ocurre en el escenario normal.

Tabla I
ESPECIFICACIONES DE HARDWARE Y SOFTWARE
UTILIZADAS EN EL EXPERIMENTO.

Características	Descripción
CPU	Intel(R) Core(TM) i7-10510U - 64 bits
Disco duro	1TB SSD
Memoria RAM	32GB
Sistema operativo	Ubuntu 20.04

Tabla II
CONFIGURACIÓN DE NODOS Y DEL CONTENEDOR.

Componentes	Configuración
Número de nodos	2
Contenedores	3
Núcleos CPU	2
SSD	50GB
Memoria RAM	4GB
Sistema operativo	Ubuntu Server 18.04
Orquestación	Docker

Tabla III
PARÁMETROS DEL SISTEMA RECOGIDOS EN AMBOS ESCENARIOS.

Tipo	Parámetros	Descripción
CPU	<i>cpu_times_user</i>	Tiempo de CPU en modo usuario
	<i>cpu_times_kernel</i>	Tiempo de CPU en modo kernel
	<i>cpu_times_idle</i>	Tiempo de CPU ocioso
	<i>cpu_times_nice</i>	Tiempo de CPU de procesos con nice
	<i>cpu_times_iowait</i>	CPU de espera por operaciones E/S
	<i>cpu_times_irq</i>	CPU por interrupciones hardware
	<i>cpu_times_softirq</i>	CPU por interrupciones software
	<i>cpu_times_steal</i>	CPU de sistemas operativos virtuales
	<i>cpu_times_guest</i>	CPU bajo el control del kernel
	<i>cpu_times_guest_nice</i>	Tiempo de CPU priorizado con nice
	<i>cpu_percent</i>	Porcentaje de uso de CPU
	<i>cpu_freq</i>	Frecuencia de los núcleos de CPU
RAM	<i>ram_total</i>	Memoria física total, sin usar SWAP
	<i>ram_available</i>	Memoria disponible sin usar SWAP
	<i>ram_used</i>	Memoria empleada por el sistema
	<i>ram_percent</i>	Porcentaje de uso de RAM
SWAP	<i>swap_total</i>	Memoria SWAP total en bytes
	<i>swap_used</i>	Memoria SWAP usada en bytes
	<i>swap_free</i>	Memoria SWAP libre en bytes
	<i>swap_percent</i>	Porcentaje de uso de SWAP
Disco	<i>device_mode</i>	Permisos del dispositivo.
	<i>ios_in_progress</i>	Operaciones de E/S en progreso
	<i>reads_completed</i>	Número de lecturas efectuadas
	<i>reads_merged</i>	Operaciones de lectura encadenadas
	<i>sectors_read</i>	Sectores leídos del dispositivo
	<i>sectors_written</i>	Sectores escritos del dispositivo
	<i>time_spent_writing</i>	Tiempo de escrituras en disco
	<i>time_spent_ios_ms</i>	Tiempo empleado en peticiones E/S
	<i>time_spent_reading_ms</i>	Tiempo empleado en lecturas en disco
	<i>writes_completed</i>	Número de escrituras efectuadas
Red	<i>writes_merged</i>	Operaciones de escritura encadenadas
	<i>network_bytes_sent</i>	Número de bytes enviados
	<i>network_bytes_rcv</i>	Número de bytes recibidos
	<i>network_packets_sent</i>	Paquetes enviados
	<i>network_packets_rcv</i>	Paquetes recibidos
	<i>network_errin</i>	Errores al recibir tráfico
	<i>network_errout</i>	Errores al enviar tráfico
	<i>network_dropin</i>	Paquetes entrantes descartados
	<i>network_dropout</i>	Paquetes salientes descartados

IV-A. Resultados del ataque por fuerza bruta

La Figura 2 muestra la comparativa en el uso de CPU durante el momento del ataque [14] para ambos escenarios. El aumento producido es considerable en escenario atacado.

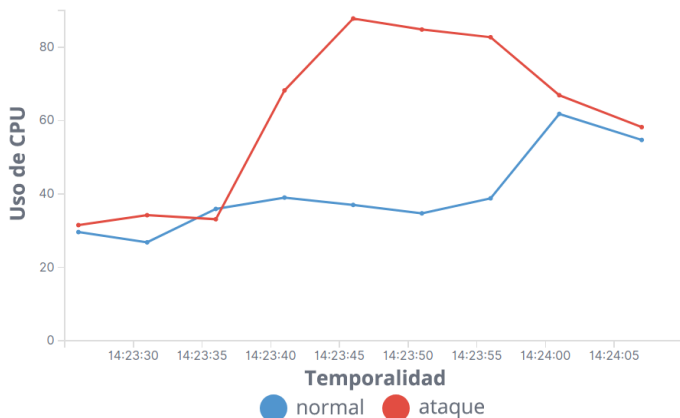


Figura 2. Comparativa de uso de CPU (ataque por fuerza bruta).

Del mismo modo, la Figura 3 recoge dos picos destacables en el número de lecturas de disco (*reads_completed*) para el escenario de ataque con respecto al escenario normal.

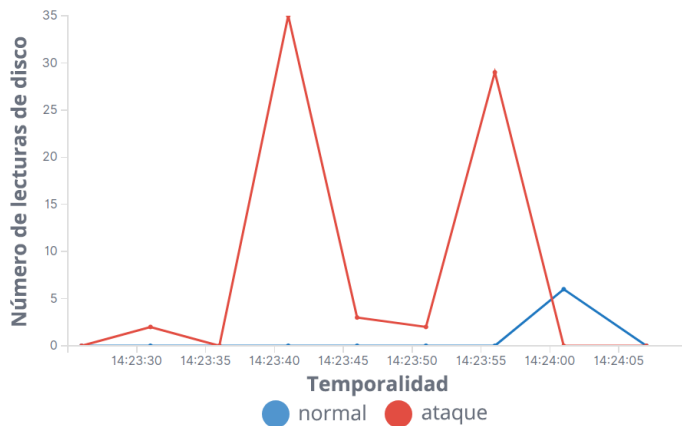


Figura 3. Comparativa de lecturas de disco (ataque por fuerza bruta).

La Figura 4 recoge la comparativa en ambos escenarios del número del número de bytes recibidos (*network_bytes_rcv*). Al igual que ocurriera en los casos anteriores el escenario atacado recibe un incremento anómalo frente el escenario cuya actividad es normal.

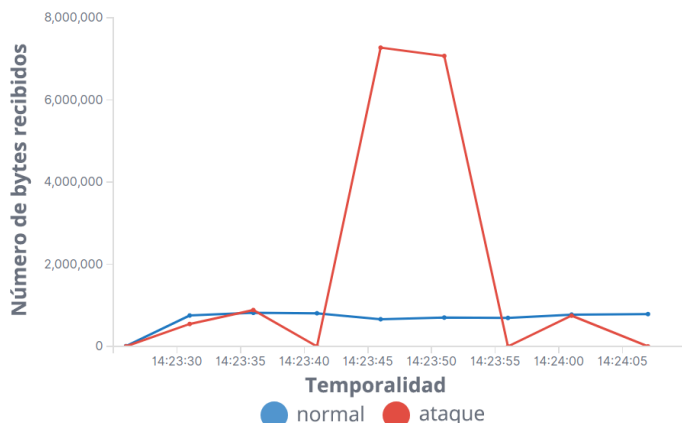


Figura 4. Comparativa de bytes recibidos (ataque por fuerza bruta).

Dado que los estudios revisados en el apartado de trabajos relacionados ponen especial atención al comportamiento de las llamadas al sistema, la Tabla IV recoge una comparativa de llamadas y frecuencia de ejecución para cada escenario.

Como se observa en la Tabla IV existen un conjunto de llamadas (marcadas en rojo) que se ejecutan únicamente en el escenario atacado y que no se han producido en el escenario con actividad normal. La Tabla V recoge estas llamadas al sistema, su identificador y una descripción de la función que realizan.

IV-B. Resultados del ataque de denegación de servicio

Al igual que para el ataque anterior, en este se recogen las consideradas anomalías con mayores desviaciones del sistema durante la generación de tráfico normal y del escenario de ataque para poder hacer la comparativa de los dos escenarios.

La Figura 5 muestra la comparativa en el uso de CPU entre ambos escenario durante el momento del ataque [15]. Se observa un instante de saturación en el escenario atacado.

Por otro lado, la Figura 6 recoge para el escenario de ataque varias desviaciones acentuadas en el tiempo de lecturas de disco (*time_spent_reading_ms*) con respecto al normal.

Tabla IV
LISTADO Y NÚMERO DE LLAMADAS AL SISTEMA EN CADA ESCENARIO (ATAQUE POR FUERZA BRUTA).

Número llamada	Llamada del sistema	Normal	Ataque
0	read	85	87
1	write	53	54
3	close	74	83
4	stat	45	56
5	fstat	74	83
6	lstat	22	23
7	poll	21	34
8	lseek	54	64
9	mmap	31	24
10	mprotect	22	18
11	munmap	23	16
12	brk	20	23
13	rt_sigaction	27	34
14	rt_sigprocmask	19	25
20	writew	0	10
21	access	31	33
23	select	9	9
24	sched_yield	1	1
28	madvise	1	1
37	alarm	7	4
38	setitimer	0	13
39	getpid	14	22
48	shutdown	0	10
51	getsockname	9	20
55	getsockopt	0	12
61	wait4	10	8
72	fcntl	48	56
78	getdents	39	37
79	getcwd	9	18
100	times	9	14
102	getuid	9	6
104	getgid	9	6
107	geteuid	9	7
108	getegid	9	6
137	statfs	27	19
186	gettid	40	33
202	futex	199	198
217	getdents64	18	27
232	epoll_wait	10	9
233	epoll_ctl	1	1
289	signalfd4	1	0
307	sendmmsg	0	12

Tabla V
DESCRIPCIÓN DE LAS LLAMADAS ÚNICAMENTE SE REALIZAN EN EL ESCENARIO ATACADO (ATAQUE POR FUERZA BRUTA).

Número llamada	Llamada del sistema	Descripción
20	writew	Escribe en un archivo o dispositivo desde varios búferes.
38	setitimer	Crea o destruye una alarma especificada.
48	shutdown	Cierra la conexión full-duplex de un socket.
55	getsockopt	Permite manipular las opciones para el socket al que se refiere el descriptor de archivo <i>sockfd</i> .
307	sendmmsg	Envía varios mensajes a través de socket.

La Figura 7 representa la comparativa con respecto la memoria RAM usada (*ram_available*) en ambos escenarios. Siguiendo la línea de la Figura 5, se produce una saturación gradual de la RAM en el escenario atacado. Sin embargo, el escenario normal el uso de este recurso es completamente uniforme.

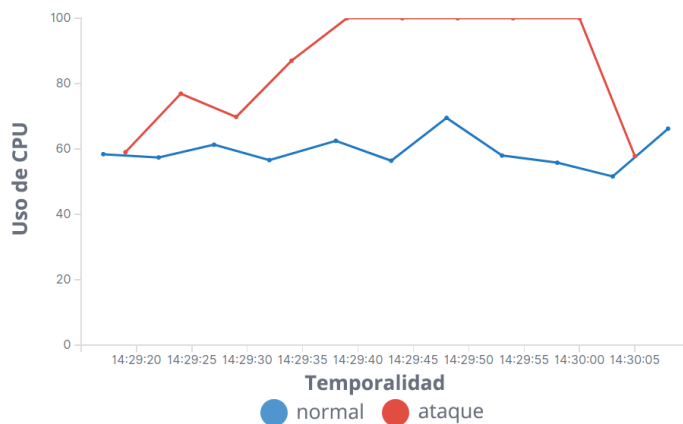


Figura 5. Comparativa de uso de CPU (ataque DoS).

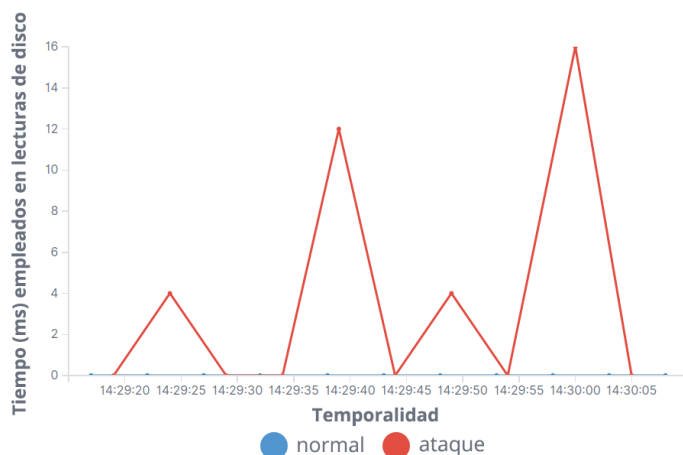


Figura 6. Comparativa de tiempo de lectura de disco (ataque DoS).

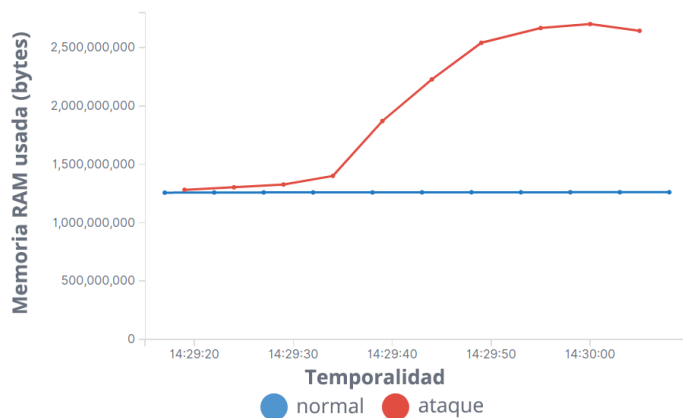


Figura 7. Comparativa de uso de RAM (ataque DoS).

La Tabla VI recoge una comparativa de llamadas y frecuencia de ejecución para cada escenario. Observamos como las llamadas *read*, *poll* y *access*, se producen con mayor concurrencia en el escenario de ataque que en el normal. Esto es debido al objetivo intencionado del ataque de *DoS* como es la saturación de un servicio o sistema informático.

Tabla VI
LISTADO Y NÚMERO DE LLAMADAS AL SISTEMA EN CADA
ESCENARIO (ATAQUE DOS).

Número llamada	Llamada del sistema	Normal	Ataque
0	read	156	608
1	write	105	159
3	close	119	347
4	stat	67	276
5	fstat	127	461
6	lstat	25	53
7	poll	92	915
8	lseek	60	345
9	mmap	28	232
20	writev	14	73
21	access	48	807
23	select	73	48
35	nanosleep	84	68
37	alarm	8	2
38	setitimer	17	98
39	getpid	13	114
48	shutdown	6	55
51	getsockname	21	72
61	wait4	56	29
72	fcntl	54	196
100	times	54	98
102	getuid	0	3
104	getgid	0	3
107	geteuid	0	4
108	getegid	0	3
137	statfs	0	1
186	gettid	55	61
202	futex	376	312
204	sched_getaffinity26		7
208	io_getevents	27	27
217	getdents64	14	75
228	clock_gettime	0	2
232	epoll_wait	40	26
281	epoll_pwait	39	53
289	signalfd4	0	1
307	sendmmsg	6	59

Del mismo modo que en el ataque anterior, existen varias llamadas al sistema que generan solo en el escenario atacado con respecto al escenario normal. La Tabla VII recoge estas llamadas al sistema, su identificador y una descripción de la función que realizan.

Tabla VII
DESCRIPCIÓN DE LAS LLAMADAS ÚNICAMENTE SE
REALIZAN EN EL ESCENARIO ATACADO (ATAQUE DOS).

Número llamada	Llamada del sistema	Descripción
102	getuid	Devuelve el ID de usuario real del proceso de llamada.
104	getgid	Devuelve el ID del grupo real del proceso de llamada.
107	geteuid	Devuelve el ID del usuario efectivo del proceso de llamada.
108	getegid	Devuelve el ID del grupo efectivo del proceso de llamada.
137	statfs	Devuelve información acerca de un sistema de ficheros del sistema.
228	clock_gettime	Devuelve la precisión de una determinada señal de reloj.
289	signalfd4	Crea un descriptor de fichero que acepta señales del proceso que lo invoca.

Las Tablas V y VII permiten observar que se producen mismas llamadas con distinto comportamiento en los escenarios y que existen llamadas que únicamente se producen en el escenario atacado.

V. TRABAJOS FUTUROS

Como trabajos futuros se plantea la realización de nuevos ataques que permitan conocer nuevas anomalías en ambos escenarios. Del mismo modo, se considera que la aplicación de algoritmos de inteligencia artificial a la gran cantidad de volumen de datos generado permitiría extraer conocimiento con mayor exactitud de los parámetros que se extraen del sistema cuando se producen ataques cibernéticos.

Igualmente, dado que se encuentran estudios que ponen especial atención en el comportamiento específico de las llamadas al sistema se realizará un análisis en profundidad de las llamadas que difieren en cada uno de los escenarios, buscando las causas de sus ejecuciones

VI. CONCLUSIONES

Este estudio evidencia que, independientemente, de si el ataque se ha realizado con éxito o no, los sistemas informáticos sufren desviaciones o anomalías del comportamiento normal cuando son atacados. Esto pudiera ser debido a que bien los ataques intentan saturar o explotar los recursos de los sistemas, o bien, realizan comportamientos poco inusuales o de baja frecuencia dentro de las aplicaciones.

Este experimento identifica una serie de parámetros concretos que presentan diferencias cuando un sistema tiene actividad normal a cuando está siendo atacado. Por tanto, el análisis de parámetros internos del sistema se considera de gran utilidad para mejorar la anticipación ante posibles ataques a una infraestructura en tiempo real y sin consumir excesivos recursos de los sistemas que puedan incrementar los costes de servicios contratados en la nube.

AGRADECIMIENTOS

Los autores agradecen la financiación recibida por parte de la Junta de Extremadura (Fondo Europeo de Desarrollo Regional), Consejería de Economía e Infraestructuras (Proyecto GR18138) y la cesión de los datos a Norontech S.L.

REFERENCIAS

- [1] Centro Criptológico Nacional, "Ciberamenazas y Tendencias Edición 2017," 2017. [Online]. Available: <https://www.ccn-cert.cni.es/informes/informes-ccn-cert-publicos/2221-ccn-cert-ia-16-17-ciberamenazas-y-tendencias-edicion-2017-resumen-ejecutivo-1/file.html>
- [2] —, "Ciberamenazas y Tendencias Edición 2018," 2018. [Online]. Available: <https://www.ccn-cert.cni.es/informes/informes-ccn-cert-publicos/2835-ccn-cert-ia-09-18-ciberamenazas-y-tendencias-edicion-2018-1/file.html>
- [3] —, "Ciberamenazas y Tendencias Edición 2019," 2019. [Online]. Available: <https://www.ccn-cert.cni.es/informes/informes-ccn-cert-publicos/3776-ccn-cert-ia-13-19-ciberamenazas-y-tendencias-edicion-2019-1/file.html>
- [4] —, "Ciberamenazas y Tendencias Edición 2020," 2020. [Online]. Available: <https://www.ccn-cert.cni.es/informes/informes-ccn-cert-publicos/5377-ccn-cert-ia-13-20-ciberamenazas-y-tendencias-edicion-2020/file.html>
- [5] S. A. Hofmeyr, S. Forrest, and A. Somayaji, "Intrusion detection using sequences of system calls," *Journal of Computer Security*, vol. 6, no. 3, p. 151–180, Jul. 1998. [Online]. Available: <https://doi.org/10.3233/JCS-980109>
- [6] S.-B. Cho and H.-J. Park, "Efficient anomaly detection by modeling privilege flows using hidden markov model," *Computers & Security*, vol. 22, no. 1, pp. 45–55, Jan. 2003. [Online]. Available: [https://doi.org/10.1016/s0167-4048\(03\)00112-3](https://doi.org/10.1016/s0167-4048(03)00112-3)
- [7] X. Xu, "Sequential anomaly detection based on temporal-difference learning: Principles, models and case studies," *Applied Soft Computing*, vol. 10, no. 3, pp. 859–867, Jun. 2010. [Online]. Available: <https://doi.org/10.1016/j.asoc.2009.10.003>

- [8] D. Mutz, F. Valeur, G. Vigna, and C. Kruegel, "Anomalous system call detection," *ACM Transactions on Information and System Security*, vol. 9, no. 1, pp. 61–93, Feb. 2006. [Online]. Available: <https://doi.org/10.1145/1127345.1127348>
- [9] S. Lv, J. Wang, Y. Yang, and J. Liu, "Intrusion prediction with system-call sequence-to-sequence model," *CoRR*, vol. abs/1808.01717, 2018. [Online]. Available: <http://arxiv.org/abs/1808.01717>
- [10] Z. Liu, N. Japkowicz, R. Wang, Y. Cai, D. Tang, and X. Cai, "A statistical pattern based feature extraction method on system call traces for anomaly detection," *Information and Software Technology*, vol. 126, p. 106348, Oct. 2020. [Online]. Available: <https://doi.org/10.1016/j.infsof.2020.106348>
- [11] Y. Shin and K. Kim, "Comparison of anomaly detection accuracy of host-based intrusion detection systems based on different machine learning algorithms," *International Journal of Advanced Computer Science and Applications*, vol. 11, no. 2, 2020. [Online]. Available: <https://doi.org/10.14569/ijacsa.2020.0110233>
- [12] A. Samir and C. Pahl, "Detecting and localizing anomalies in container clusters using markov models," *Electronics*, vol. 9, no. 1, p. 64, Jan. 2020. [Online]. Available: <https://doi.org/10.3390/electronics9010064>
- [13] GÖtmilk, "Diccionario de contraseñas," 2020, accessed Nov. 01,2020. [Online]. Available: <https://github.com/danielmiessler/SecLists/blob/master/Passwords/Common-Credentials/500-worst-passwords.txt>
- [14] T. Ferreira, Z. Grace and C. Mehlmauer, "WordPress Brute Force and User Enumeration Utility," 2018, accessed Oct. 01,2020. [Online]. Available: https://www.rapid7.com/db/modules/auxiliary/scanner/http/wordpress_login_enum/
- [15] N. Goldshlager and C. Mehlmauer, "Wordpress XMLRPC DoS," 2014, accessed Oct. 01,2020. [Online]. Available: https://www.rapid7.com/db/modules/auxiliary/dos/http/wordpress_xmlrpc_dos/